

Fig 1: TC axial pré e pós contraste demonstrando realce heterogêneo da lesão expansiva no hemitórax direito, associada a desvio contralateral e compressão das estruturas mediastinais.

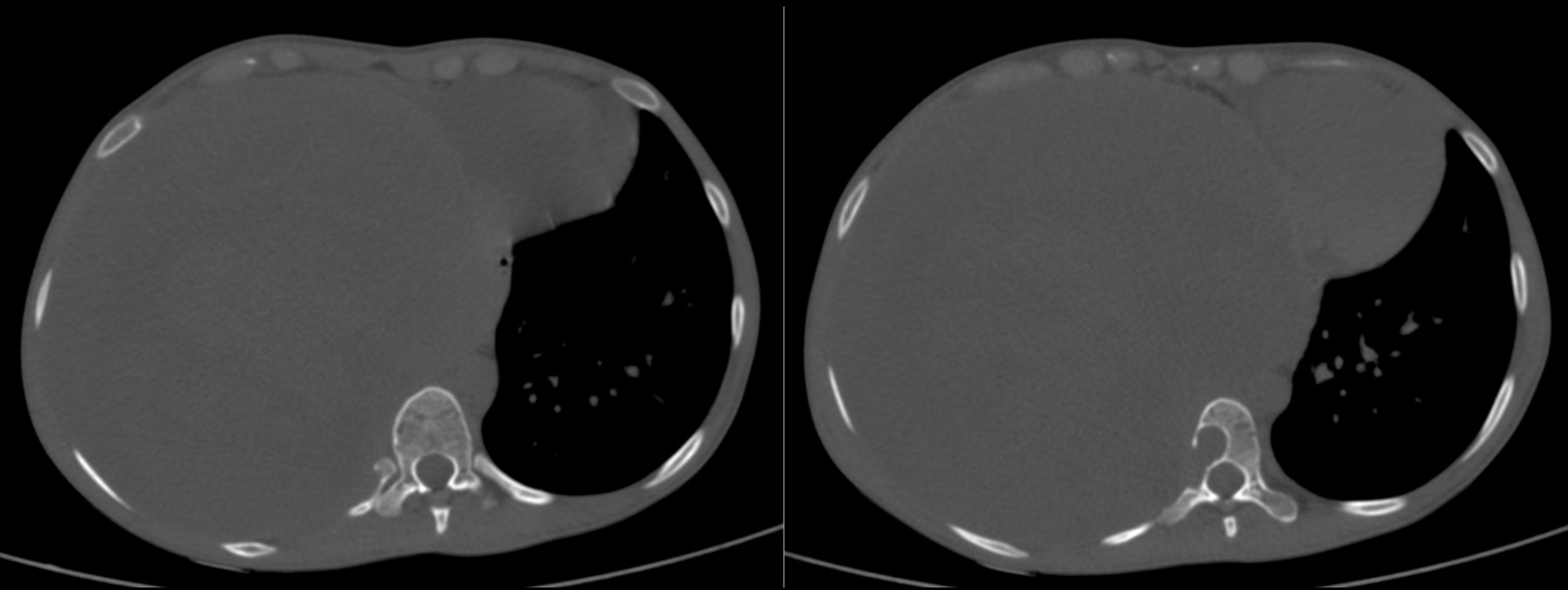


Fig 2: TC axial torácica evidenciando erosões ósseas de margens escleróticas, inferindo lesão de crescimento lento, na porção posterolateral direito do corpo vertebral de T9 e do pedículo correspondente, bem como da porção proximal do 10º arco costal ipsilateral.



Fig 3: TC torácica (axial) com contraste ilustrando a rica vascularização tumoral por ramos das artérias intercostais e da aorta torácica.

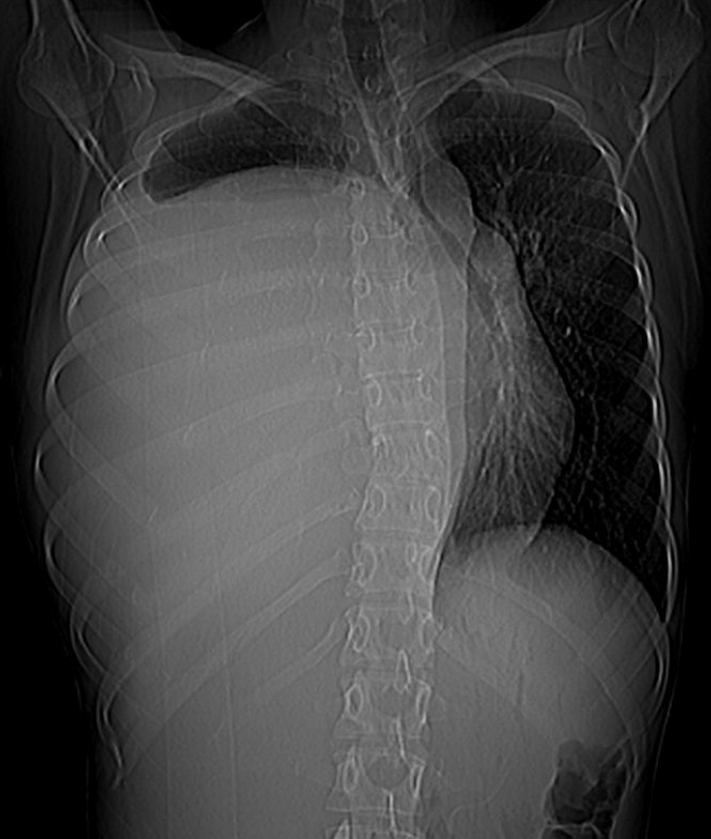
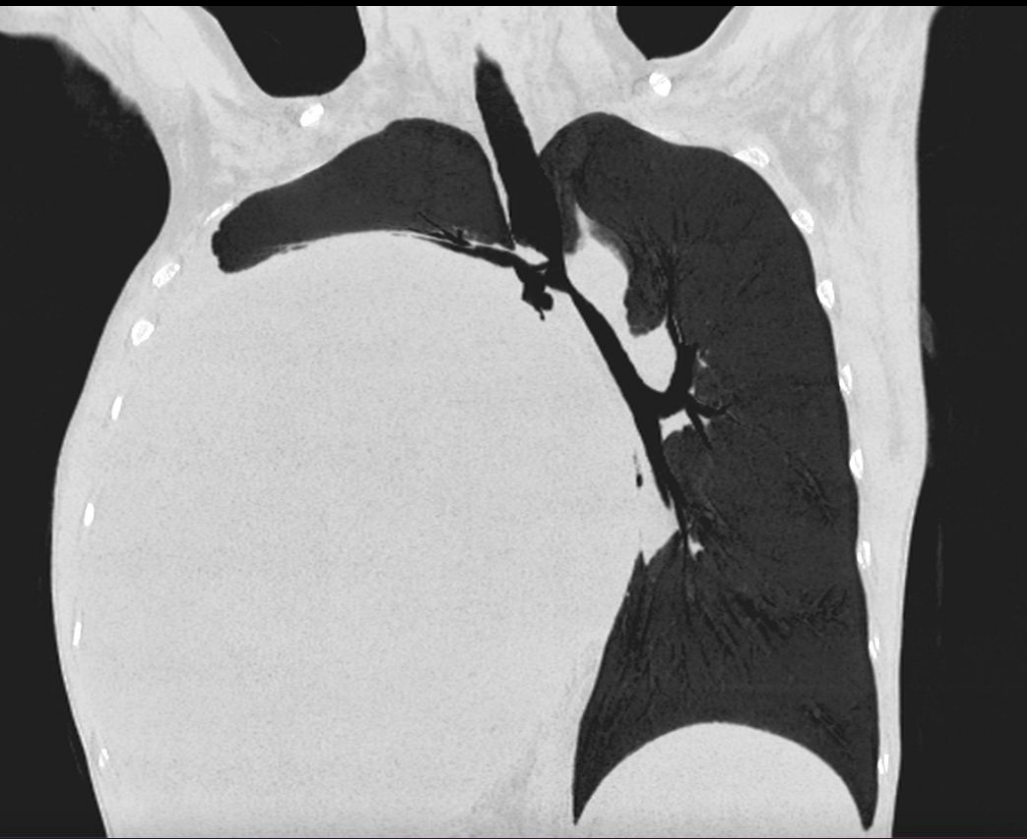


Fig 4 (a, b): Estudo tomográfico (coronal) e radiografia do tórax exibindo desvio traqueal pela massa com redução do calibre da carina e dos brônquios-fonte.

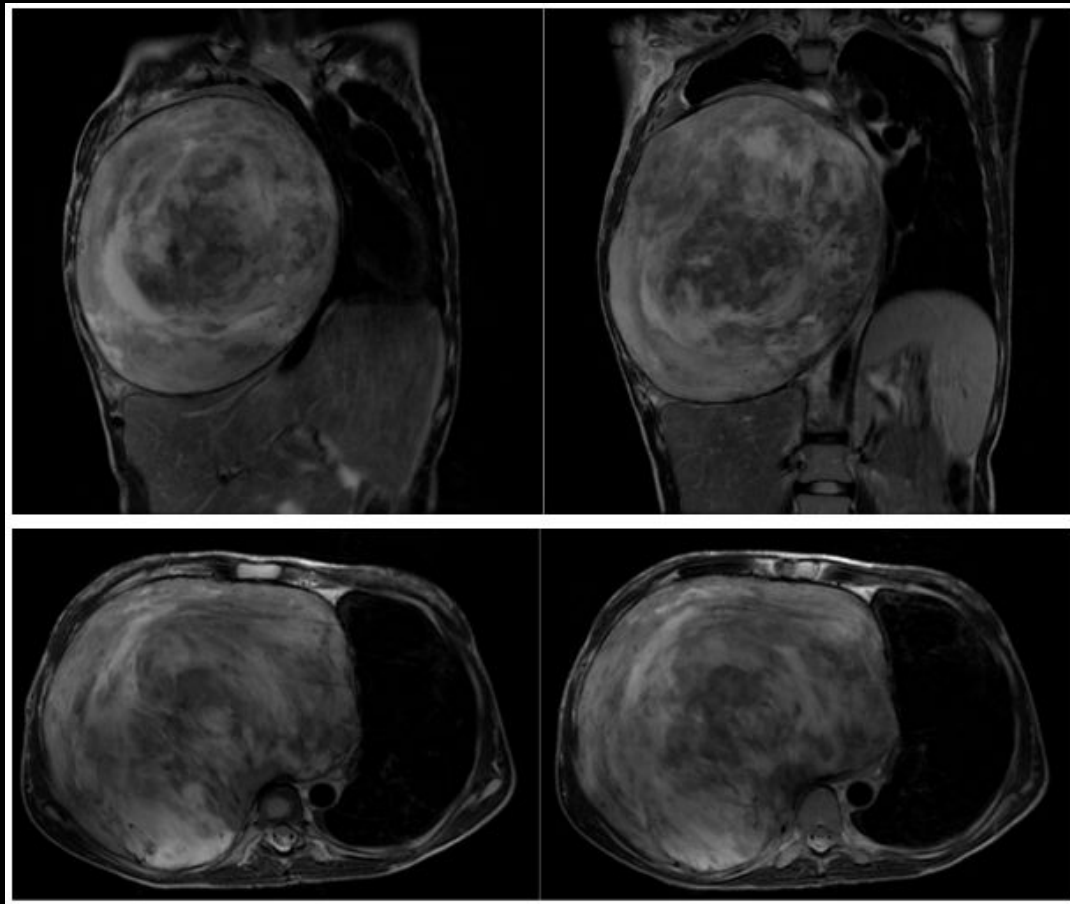


Fig 5: Ressonância magnética coronal (a, b) e axial (c, d) demonstrando heterogeneidade da massa tumoral.